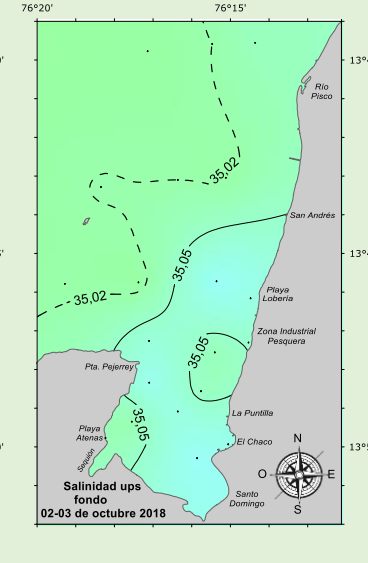
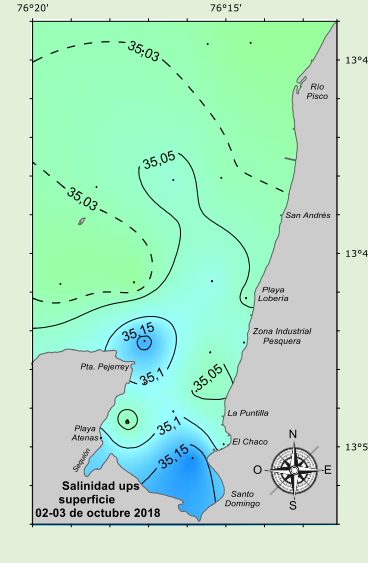
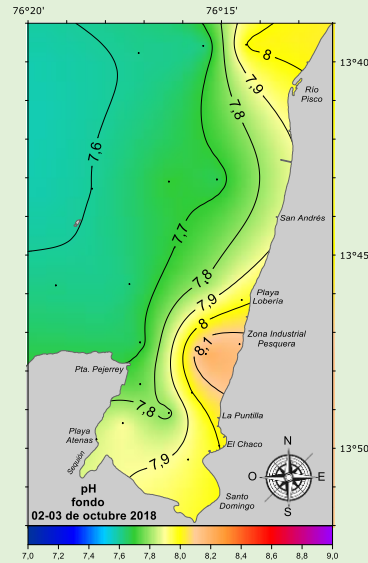
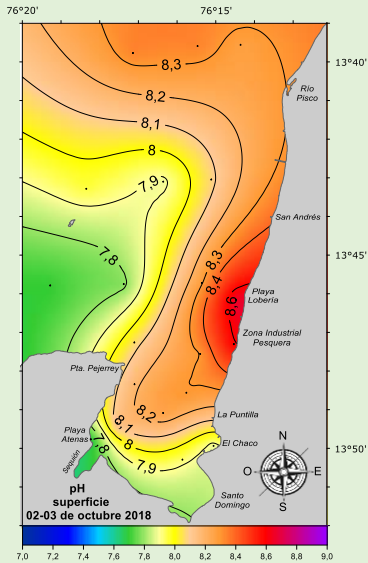
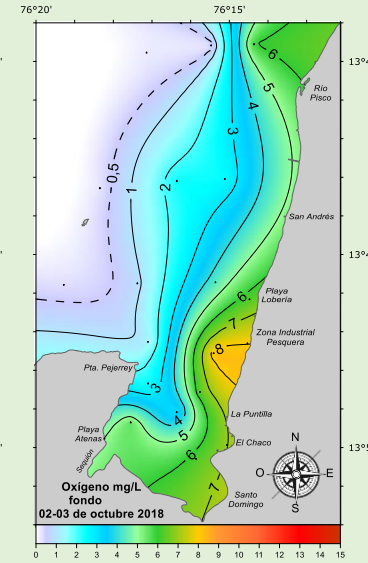
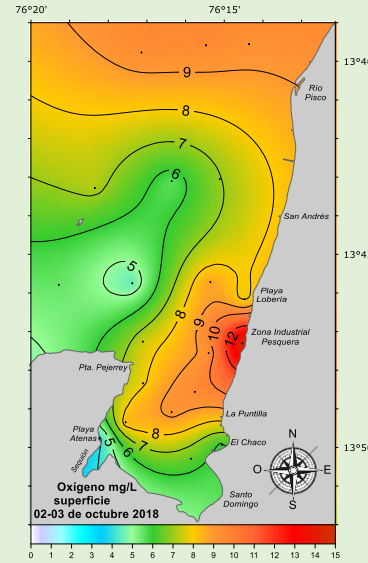
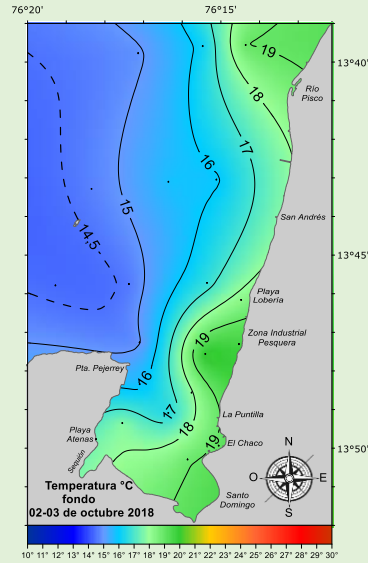
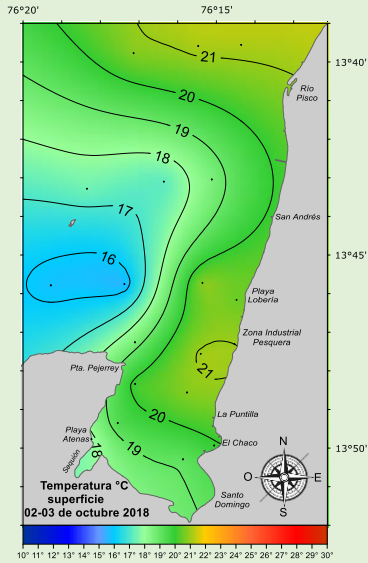




SEGUIMIENTO DE LA CALIDAD ACUÁTICA EN LA BAHÍA DE PARACAS-PISCO

02-03 de octubre de 2018



SEGUIMIENTO DE LA CALIDAD ACUÁTICA EN LA BAHÍA DE PARACAS-PISCO

02-03 de octubre de 2018



Floración algal frente al muelle fiscal de Pisco Playa (13°42'38,5" LS – 76°13'41,2" LW), 02 de octubre de 2018.



Floración algal frente al desembarcadero pesquero artesanal de San Andrés, 03 de octubre de 2018.



Floración algal frente a la zona industrial pesquera (13°47'18,4" LS – 76°14'31,9" LW), 03 de octubre de 2018.

VALORES PROMEDIO DE PARÁMETROS AMBIENTALES

TABLA N° 1 MUESTREO POR MAR

Fecha de muestreo	Nivel	Evaluación	Temperatura °C	Oxígeno disuelto mg/L	pH unidad de pH	Salinidad ups
02-03 de octubre de 2018	Superficie	Promedio	19,26	7,83	8,11	35,060
		Mín	15,60	4,45	7,70	35,001
		Máx.	21,20	9,58	8,34	35,191
	Fondo	Promedio	16,51	3,15	7,78	35,041
		Mín	14,40	0,21	7,60	35,010
		Máx.	20,20	8,30	8,21	35,096

TABLA N° 2 MUESTREO POR PLAYA

Fecha de muestreo	Nivel	Evaluación	Temperatura °C	Oxígeno disuelto mg/L	pH unidad de pH	Salinidad ups
02-03 de octubre de 2018	Superficie	Promedio	19,80	8,04	8,21	35,079
		Mín	17,80	3,74	7,67	35,043
		Máx.	21,00	14,94	8,68	35,122

Se observó un incremento de la temperatura del mar en la columna de agua respecto a los días 20-21 de setiembre, en la superficie del mar se registraron temperaturas > 20 °C frente a la desembocadura del río Pisco y entre las playas Lobería y El Chaco. Se hallaron concentraciones elevadas de oxígeno disuelto (> 9 mg/L) frente a la desembocadura del río Pisco y la zona industrial pesquera, asociada a una floración algal, que presentó una continuidad en la franja costera entre la desembocadura el río Pisco y la zona industrial pesquera, zona en la que presentó mayor intensidad, la floración algal fue causada por el organismo flagelado *Heterosigma akashiwo*, que tuvo concentraciones celulares entre $7,1 \times 10^6$ y $122,8 \times 10^6$ cel.L⁻¹.